

МИНИСТЕРСТВО НАУКИ И ВЫСШЕГО ОБРАЗОВАНИЯ РФ

Федеральное государственное бюджетное образовательное учреждение высшего образования

«Московский государственный технический университет имени Н. Э. Баумана»

(национальный исследовательский университет)»

Факультет «Фундаментальные науки»  
Кафедра Физики

ДОМАШНЕЕ ЗАДАНИЕ №1

по дисциплине «Вычислительная физика»

на тему: «Решение задачи переноса излучения методом Монте-Карло»

Выполнил: Ярков А.В.  
Группа: ФН4-81Б

Москва  
2021

## Оглавление

Введение.....	3
Теоретическая часть.....	4
1. Кинетическое уравнение Больцмана.....	4
2. Метод Монте-Карло для решения задачи переноса излучения .....	5
3. Метод локальной оценки потока.....	9
Практическая часть .....	11
1. Постановка задачи .....	11
2. Полученные результаты .....	12
Заключение .....	20

## Введение

Метод Монте-Карло представляет собой метод численного решения математических задач с помощью моделирования случайных чисел. Является эффективным методом для решения задач, связанных с эволюцией различных физических процессов, сопровождаемых какими-либо случайными факторами.

Задача переноса излучения включает в себя моделирование взаимодействия большого числа частиц, в частности частиц излучения с частицами среды. Пучки заряженных и нейтральных частиц нашли широкое применение при решении практических и научных задач. Сложность состоит в том, что несмотря на известные из эксперимента или других расчётов микроскопические характеристики взаимодействия (сечение взаимодействия, сечение рассеяния), макроскопические характеристики (плотность потока, распределение выделившейся энергии в веществе) требуют непосредственного расчёта.

В то время, как задача переноса излучения может быть решена с помощью кинетических уравнений, описывающих прохождение излучения через вещество, метод Монте-Карло предлагает более простой способ решения подобной задачи. Сущность метода Монте-Карло сводится к тому, что сложный стохастический процесс взаимодействия излучения с веществом сводится к рассмотрению последовательности независимых случайных событий, к которым относятся:

- рождение частицы в некоторой точке;
- последовательное движение этой частицы в некотором направлении без взаимодействия;
- взаимодействие какого-либо вида в новой точке;
- задание нового направления движения с новой энергией в случае, если частица не была поглощена.

## Теоретическая часть

### 1. Кинетическое уравнение Больцмана

При теоретическом описании потока излучения применяется понятие пространственно-временного энергетически-углового распределения частиц:

$$\varphi = \varphi(\mathbf{r}, t, E, \mathbf{\Omega}).$$

В случае стационарного процесса изменение плотности потока частиц обусловлено следующими процессами:

1. Движение частиц (убыль):  $\mathbf{\Omega} \nabla \varphi(\mathbf{r}, E, \mathbf{\Omega}) d\mathbf{r} dE d\mathbf{\Omega}$ .
2. Взаимодействие с веществом (убыль):  $\Sigma(\mathbf{r}, E) \varphi(\mathbf{r}, E, \mathbf{\Omega}) d\mathbf{r} dE d\mathbf{\Omega}$ .
3. Наличие источников (прирост):  $q(\mathbf{r}, E, \mathbf{\Omega}) d\mathbf{r} dE d\mathbf{\Omega}$ .
4. Комптоновское рассеяние с верхних энергетических уровней (прирост):

$$\int d\mathbf{\Omega} \int_E^{E_{max}} \Sigma_s(\mathbf{r}, E' \rightarrow E, \mathbf{\Omega}' \rightarrow \mathbf{\Omega}) \varphi(\mathbf{r}, E', \mathbf{\Omega}') dE'.$$

Тогда уравнение баланса излучения будет выглядеть следующим образом:

$$\begin{aligned} \mathbf{\Omega} \nabla \varphi(\mathbf{r}, E, \mathbf{\Omega}) + \Sigma(\mathbf{r}, E) \varphi(\mathbf{r}, E, \mathbf{\Omega}) &= q(\mathbf{r}, E, \mathbf{\Omega}) + \\ + \int d\mathbf{\Omega} \int_E^{E_{max}} \Sigma_s(\mathbf{r}, E' \rightarrow E, \mathbf{\Omega}' \rightarrow \mathbf{\Omega}) \varphi(\mathbf{r}, E', \mathbf{\Omega}') dE'. \end{aligned} \quad (1)$$

Если рассмотреть луч  $\xi = \xi \mathbf{\Omega}$ , то первое слагаемое может быть переписано в виде

$$\mathbf{\Omega} \nabla \varphi(\mathbf{r}, E, \mathbf{\Omega}) = \frac{d\varphi}{d\xi}. \quad (2)$$

Тогда решение уравнения (1) совместно с условием (2) может быть найдено в виде:

$$\varphi(\mathbf{r}, E) = \varphi_0(\mathbf{r}, E) + \int_0^{\xi_0} d\xi' e^{-\tau(\xi')} \int dE' \Sigma_s(\mathbf{r} - \xi' \mathbf{\Omega}, E' \rightarrow E) \varphi(\mathbf{r} - \xi' \mathbf{\Omega}, E'), \quad (3)$$

где введено обозначение  $\mathbf{E} = (E, \mathbf{\Omega})$ ,  $\xi_0$  – расстояние от границы рассматриваемой области до положения частицы вдоль луча  $\mathbf{\Omega}$ ,  $\tau(\xi') = \tau(\mathbf{r}, \mathbf{r}', E) =$

$\int_0^{\xi_0} d\xi' \Sigma(\mathbf{r} - \xi' \mathbf{\Omega}, E)$  – оптическое расстояние от границы среды до текущей точки,  $\varphi_0(\mathbf{r}, E)$  определяется выражением:

$$\varphi_0(\mathbf{r}, E) = f(\mathbf{r} - \xi_0 \mathbf{\Omega}, E) e^{-\tau(\xi'=\xi_0)} + \int_0^{\xi_0} d\xi' e^{-\tau(\xi')} q(\mathbf{r} - \xi' \mathbf{\Omega}, E), \quad (4)$$

в котором  $f(\mathbf{r} - \xi_0 \mathbf{\Omega}, E)$  – функция-источник на границе среды.

Остаётся перейти от плотности потока к плотности по столкновениям:

$$\Psi(\mathbf{r}, E) = \varphi(\mathbf{r}, E) \Sigma(\mathbf{r}, E). \quad (5)$$

Тогда, если перейти к плотности по столкновениям в уравнении (3) с помощью замены (5) и заменить интегрирование по лучу  $\xi$  интегрированием по объёму:  $\xi = |\mathbf{r} - \mathbf{r}'|$ ,  $\mathbf{\Omega} = \frac{\mathbf{r} - \mathbf{r}'}{|\mathbf{r} - \mathbf{r}'|}$ ,  $d\mathbf{r} = \xi^2 d\xi d\mathbf{\Omega}$ , придём к уравнению:

$$\Psi(\mathbf{r}, E) = q_1(\mathbf{r}, E) + \iint K(\mathbf{r}', E', \mathbf{r}, E) \Psi(\mathbf{r}', E') d\mathbf{r} dE', \quad (6)$$

представляющим собой интегральное уравнение Фредгольма второго рода, в котором

$$q_1(\mathbf{r}, E) = \int d\mathbf{r}' q(\mathbf{r}', E') \Sigma(\mathbf{r}, E) e^{-\tau(\mathbf{r}, \mathbf{r}', E)} \cdot \frac{\delta\left(\mathbf{\Omega} - \frac{\mathbf{r} - \mathbf{r}'}{|\mathbf{r} - \mathbf{r}'|}\right)}{|\mathbf{r} - \mathbf{r}'|^2}, \quad (7)$$

$$K(\mathbf{r}', E', \mathbf{r}, E) = \frac{\Sigma(\mathbf{r}', E' \rightarrow E)}{\Sigma(\mathbf{r}', E')} \Sigma(\mathbf{r}, E) e^{-\tau(\mathbf{r}, \mathbf{r}', E)} \cdot \frac{\delta\left(\mathbf{\Omega} - \frac{\mathbf{r} - \mathbf{r}'}{|\mathbf{r} - \mathbf{r}'|}\right)}{|\mathbf{r} - \mathbf{r}'|^2}. \quad (8)$$

## 2. Метод Монте-Карло для решения задачи переноса излучения

Схема метода Монте-Карло для решения задачи переноса излучения выглядит следующим образом:

1. Розыгрыш точки рождения, энергии и направления вылета  $n$ -ой частицы (если первый заход в этот пункт, то  $n = 1$ ). Задание начального веса (“выживаемости”) частицы:  $W_n = 1$ .
2. Розыгрыш длины свободного пробега.

3. Расчёт координаты точки  $k$ -го взаимодействия (если первый заход в этот пункт, то  $k = 1$ ).
4. Проверка: осталась ли частица в области решения задачи. Если нет, то  $n = n + 1$  и переход в пункт 1.
5. Розыгрыш типа взаимодействия: если не рассеяние, то  $n = n + 1$  и переход в пункт 1.
6. Определение параметров рассеяния  $\cos \Theta_s, E$ .
7. Проверка: если  $E < E_{min}$ , то  $n = n + 1$  и переход в пункт 1.
8. Переход к старой системе координат.
9. Определение веса частицы:  $W_n = W_n \cdot \frac{\Sigma_s}{\Sigma}$ .
10. Проверка: если  $W < W_{min}$ , то  $n = n + 1$  и переход в пункт 1.
11. Вычисление вклада рассматриваемой частицы в показания детектора выбранным способом (в дальнейшем будет рассмотрен только метод локальной оценки потока).
12. Розыгрыш новой длины свободного пробега,  $k = k + 1$  и переход в пункт 3.

Задача розыгрыша точки рождения и направления вылета частицы существенно упрощается в случае однородного изотропного источника. В этом случае точка рождения и направление вылета разыгрываются таким образом, что плотность вероятности точек рождения не зависит от точки, а плотность вероятности направлений вылета – от направлений. Энергия инжестируемых частиц полностью определяется материалом источника.

Розыгрыш длины свободного пробега существенно упрощается в случае однородной среды:  $\Sigma(\mathbf{r}, E) = \Sigma(E)$ . Тогда длина свободного пробега может быть определена из предположения о равномерном распределении оптических расстояний:

$$e^{-\Sigma(E)L} = \gamma, \quad (9)$$

тогда длина свободного пробега определяется выражением:

$$L = -\frac{\ln \gamma}{\Sigma(E)}. \quad (10)$$

Как правило, полное сечение взаимодействий частицы со средой состоит из трёх частей: комптоновской; части, ответственной за фотоэффект (поглощение) и части, ответственной за рождение электрон-позитронной пары. Тогда оно может быть записано в виде:

$$\Sigma = \sigma_s + \sigma_{ph} + \sigma_{e-p}. \quad (11)$$

Тип взаимодействия разыгрывается следующим образом:

1. Розыгрыш равномерно распределённой случайно величины на единичном отрезке:  $\gamma$ .
2. Если  $\frac{\sigma_s}{\Sigma} > \gamma$ , то комптоновское рассеяние; если нет, то переход к следующему пункту.
3. Если  $\frac{\sigma_s + \sigma_{ph}}{\Sigma} > \gamma$ , то фотоэффект; если нет, то результат взаимодействия – образование электрон-позитронной пары.

Если произошло комптоновское рассеяние, то частица “выжила”, и необходимо разыграть “новые” энергию и направление частицы (фотона). Энергия рассеянного фотона  $E$  и угол рассеяния  $\Theta$  связаны через энергию фотона до рассеяния  $E'$  выражением:

$$E = E' / \left[ 1 + \frac{E'(1 - \cos \Theta)}{m_0 c^2} \right]. \quad (12)$$

Удобнее перейти к безразмерным параметрам  $\alpha = \frac{E}{m_0 c^2}$ ,  $\alpha' = \frac{E'}{m_0 c^2}$ , где  $m_0$  – масса покоя электрона, тогда выражение (12) преобразуется к виду:

$$\alpha = \frac{\alpha'}{1 + \alpha'(1 - \cos \Theta)}. \quad (13)$$

Учитывая приведённую выше связь между энергией и углом рассеяния, разыграть необходимо лишь одну из этих величин. Пусть этой величиной будет энергия  $\alpha$ . Плотность распределения энергии после рассеяния пропорциональна функции

$$f(x, \alpha') \sim p(x, \alpha') = \frac{x}{\alpha'} + \frac{\alpha'}{x} + \left( \frac{1}{\alpha'} - \frac{1}{x} \right) \left( 2 + \frac{1}{\alpha'} - \frac{1}{x} \right), \quad (14)$$

если  $\frac{\alpha'}{1+2\alpha'} < x < \alpha'$ . Тогда справедливо соотношение:

$$p(x, \alpha') \leq 1 + 2\alpha' + \frac{1}{1 + 2\alpha'}. \quad (15)$$

Величина  $\alpha$  может быть определена с помощью метода исключения, алгоритм которого имеет следующий вид:

1. Разыгрываются два значения  $\gamma_1, \gamma_2$  равномерно распределённой на единичном отрезке случайной величины.
2. Вычисляется  $x = \alpha'(1 + 2\alpha'\gamma_1)/(1 + 2\alpha')$  и находится  $p(x, \alpha')$  из выражения (14).
3. Если  $\gamma_2 \cdot \left( 1 + 2\alpha' + \frac{1}{1+2\alpha'} \right) < p(x, \alpha')$ , то  $\alpha = x$ , иначе переходим к пункту 1.

После определения энергии косинус угла рассеяния определяется следующим образом:

$$\mu_s = \cos \Theta_s = 1 - \frac{1}{\alpha} + \frac{1}{\alpha'}. \quad (16)$$

Для угла рассеяния справедливы неравенства  $0 \leq \Theta_s \leq \pi$  (полярный угол). Азимутальный угол определяется следующим розыгрышем:

$$\psi_s = 2\pi \cdot \gamma. \quad (17)$$

В декартовой системе координат направление движения задаётся тремя направляющими косинусами:  $\mathbf{\Omega} = i\omega_1 + j\omega_2 + k\omega_3$ . Формулы перехода между “старым”  $\mathbf{\Omega}'$  и “новым”  $\mathbf{\Omega}$  направлением выглядят следующим образом:

$$\omega_3 = \omega'_3 \mu_s + \cos \psi_s \sqrt{(1 - \mu_s^2)(1 - \omega'^2_3)}, \quad (18)$$

$$\omega_2 = \frac{\omega'_2(\mu_s - \omega'_3 \omega_3) + \omega'_1 \sin \psi_s \sqrt{(1 - \mu_s^2)(1 - \omega'^2_3)}}{1 - \omega'^2_3}, \quad (19)$$

$$\omega_1 = \frac{\omega'_1(\mu_s - \omega'_3 \omega_3) - \omega'_2 \sin \psi_s \sqrt{(1 - \mu_s^2)(1 - \omega'^2_3)}}{1 - \omega'^2_3}. \quad (20)$$



### 3. Метод локальной оценки потока

Метод локальной оценки потока позволяет стянуть детектор в точку. Плотность по столкновениям в рассматриваемой точке  $x^* = (\mathbf{r}, \mathbf{E})$  определяется согласно выражению (6) соотношением

$$\Psi(x^*) = q_1(x^*) + \int K(x', x^*) \Psi(x') dx'. \quad (21)$$

Так как  $q_1(x^*)$  может быть оценена аналитически, то интерес представляют лишь рассеянные частицы. Следовательно поток частиц в точке  $x^*$  определяется выражением:

$$\varphi(x^*) = \int \frac{K(x', x^*)}{\Sigma_s(x^*)} \Psi(x') dx'. \quad (22)$$

Формально, согласно выражению (22)  $\varphi(x^*)$  - функционал от плотности по столкновениям с откликом  $g(x', x^*) = \frac{K(x', x^*)}{\Sigma_s(x^*)}$ .

Метод локальной оценки потока даёт следующее выражение для вклада частиц с энергией  $\alpha$  в показания детектора:

$$\eta(\alpha) = \sum_{n=1}^N W_n \cdot \frac{K(x', x^*)}{\Sigma_s(x^*)}. \quad (23)$$

Для избавления от  $\delta$ -функции, содержащейся в ядре  $K(x', x^*)$  в выражении (23), её можно проинтегрировать по пучку направлений  $\Delta\Omega_i^*$ . Тогда оценка плотности потока частиц в точке  $x^*$  будет равна математическому ожиданию от случайной величины (23). Это плотность потока частиц, которые движутся в выбранном пучке направлений  $\Delta\Omega_i^*$ , энергия которых попадает в интервал  $(E^*, E^* + \Delta E_i^*)$ :

$$\eta(\alpha) = \sum_{n=1}^N W_n \cdot \frac{e^{-\tau(\mathbf{r}_n, \mathbf{r}^*, E_n^*)}}{|\mathbf{r}_n - \mathbf{r}^*|} \cdot \frac{\Sigma_s(\mathbf{r}_n, E_n \rightarrow E_i^*, \Omega_n \rightarrow \Omega_i^*)}{\Sigma_s(\mathbf{r}_n, E_n)} \Delta(\Omega_n, \Omega_i^*) \Delta(E_n, E_i^*). \quad (24)$$

Дифференциальное сечения рассеяния в выражении (24) определяется по формуле Клейна-Нишины-Тамма:

$$\Sigma_s(\alpha', \Theta_s) = \frac{Zr_e^2}{2} \cdot \frac{1 + \mu_s^2 + \alpha'^2(1 - \mu_s)^2 / (1 + \alpha'(1 - \mu_s))}{[1 + \alpha'(1 - \mu_s)]^2}, \quad (25)$$

где  $Z$  – атомный номер материала среды,  $r_e$  – классический радиус орбиты электрона.

Интегрирование выражения (25) по телесному углу даёт выражение для полного сечения комптоновского рассеяния фотонов на свободных электронах:

$$\Sigma_s(\alpha') = 2\pi Zr_e^2 \left\{ \frac{1 + \alpha'}{\alpha'^2} \left[ \frac{2(1 + \alpha')}{1 + 2\alpha'} - \frac{\ln(1 + 2\alpha')}{\alpha'} \right] + \frac{\ln(1 + 2\alpha')}{2\alpha'} - \frac{1 + 3\alpha'}{(1 + 2\alpha')^2} \right\}. \quad (26)$$

Нормировка выражения (24) на число частиц даст следующую оценку для вклада потока частиц в детектор:

$$\varphi(\alpha) = \frac{\eta(\alpha)}{N}. \quad (27)$$

## Практическая часть

### 1. Постановка задачи

Плоских изотропный однородный эллиптический источник фотонов с полуосями  $a = 15$  см,  $b = 30$  см изготовлен из материала кобальт-60 ( $E = 1.3$  MeV). Фотоны распространяются в среде, представляющей собой алюминиевый параллелепипед с площадью основания  $60 \times 80$  см<sup>2</sup> и высотой 20 см.

Необходимо:

1. Построить распределение точек вылета фотонов для  $N = 100, 500, 1000$ .
2. Для тех же значений  $N$  построить “ёжика”, иголки которого соединяют точки рождения частиц с точками их первого взаимодействия.
3. Для  $N = 10^5$  рассчитать виртуальные вклады в детекторы методом локальной оценки потока. Число детекторов: 7. Положения детекторов на оси:  $h = 5, 15, 20$  см. Остальные детекторы в центрах боковых граней.

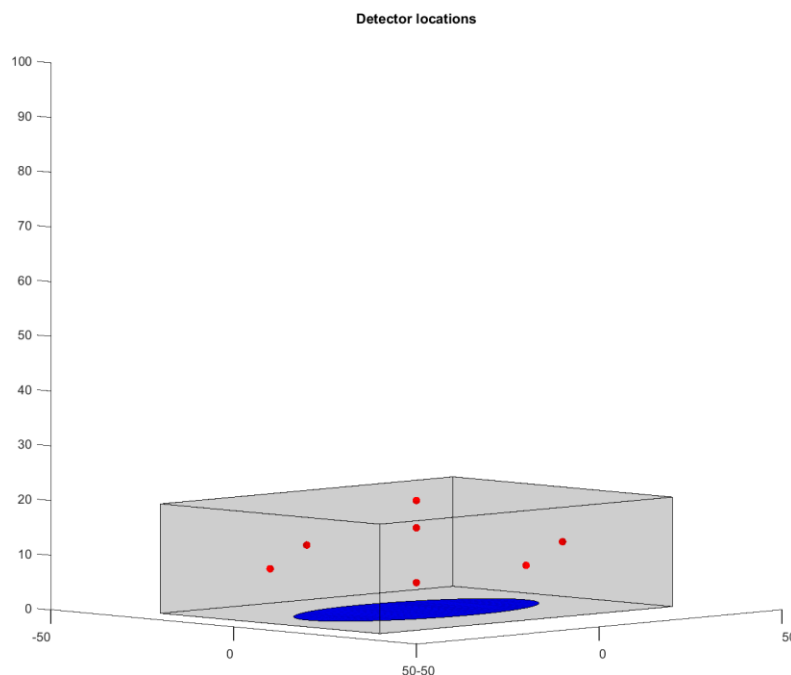


Рисунок 1. Геометрия источника и среды, положения детекторов.

## 2. Полученные результаты

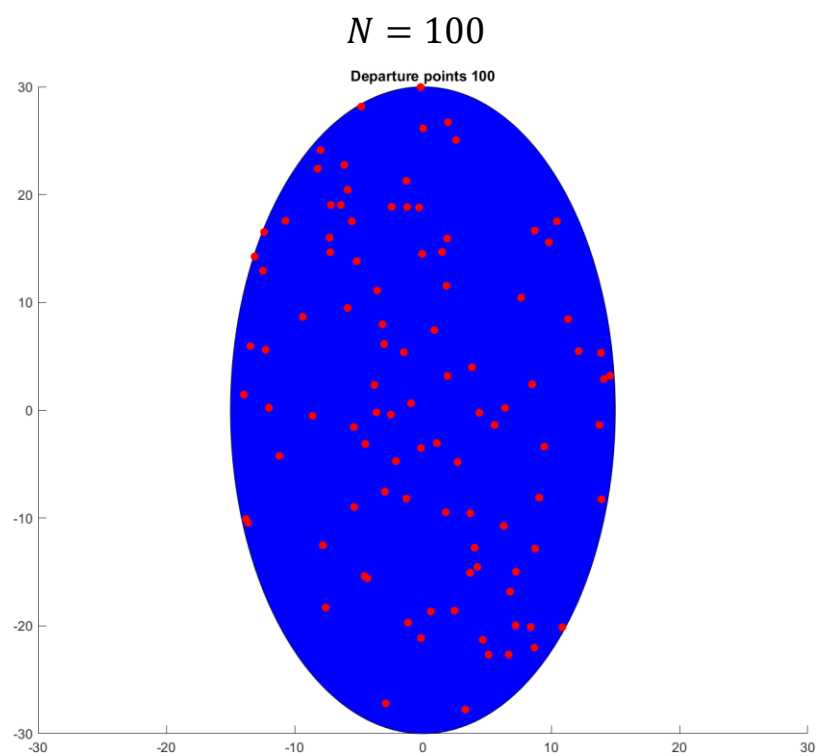


Рисунок 2 Розыгрыш точек вылета частиц ( $N = 100$ ).  
Красными точками показаны точки вылета частиц.

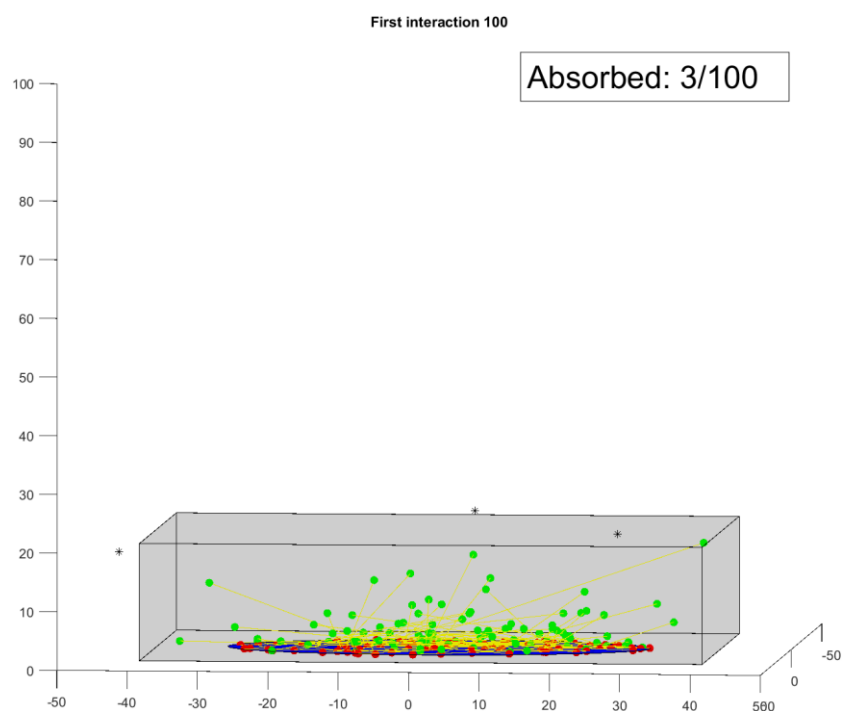


Рисунок 3. Розыгрыш точек первого взаимодействия ( $N = 100$ ).  
Красными точками показаны точки вылета частиц.  
Зелёными точками показаны точки первого взаимодействия частиц.  
Чёрными звёздами показаны поглощённые частицы.  
Жёлтыми линиями — пути частиц.

$N = 500$

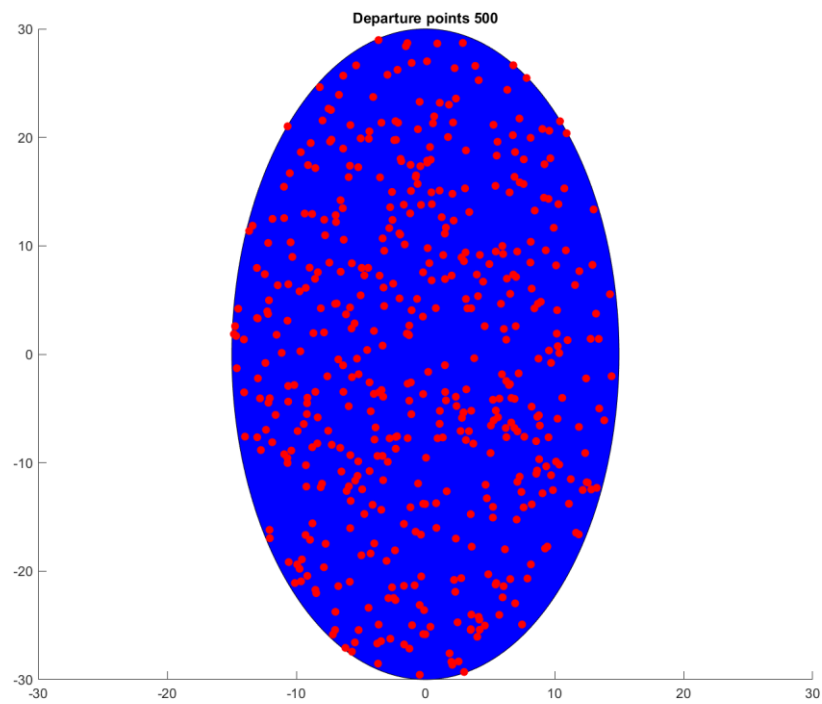


Рисунок 4. Розыгрыш точек вылета частиц ( $N = 500$ ).  
Красными точками показаны точки вылета частиц.

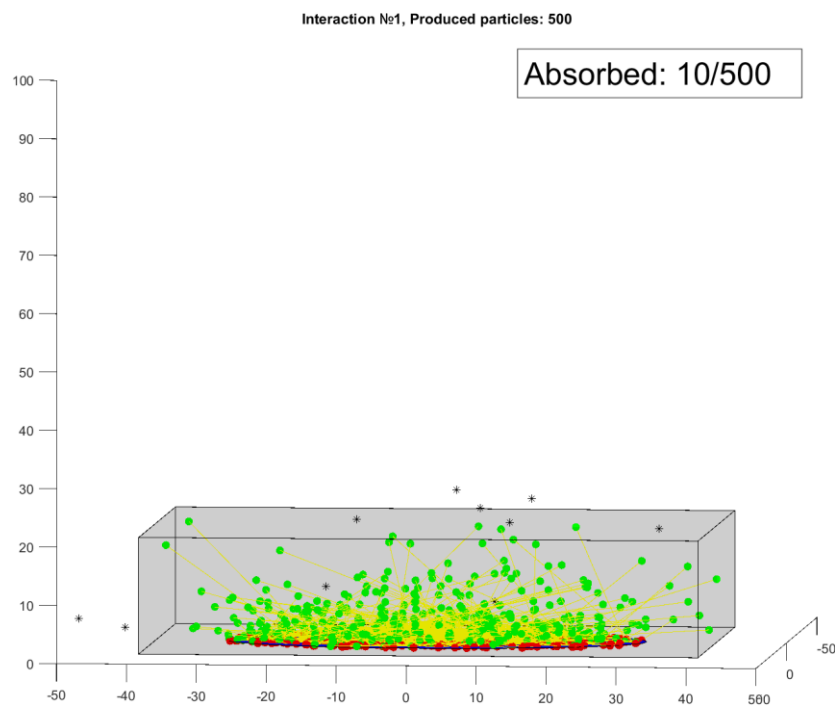


Рисунок 5. Розыгрыш точек первого взаимодействия ( $N = 500$ ).  
Красными точками показаны точки вылета частиц.  
Зелёными точками показаны точки первого взаимодействия частиц.  
Чёрными звёздами показаны поглощённые частицы.  
Жёлтыми линиями – пути частиц.

$N = 1000$

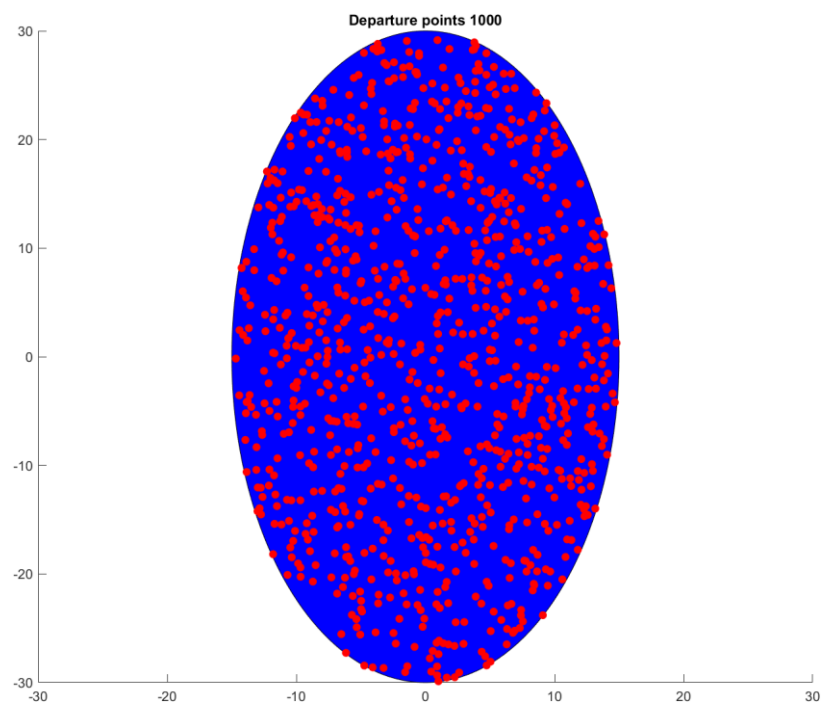


Рисунок 6. Розыгрыш точек вылета частиц ( $N = 1000$ ).  
Красными точками показаны точки вылета частиц.

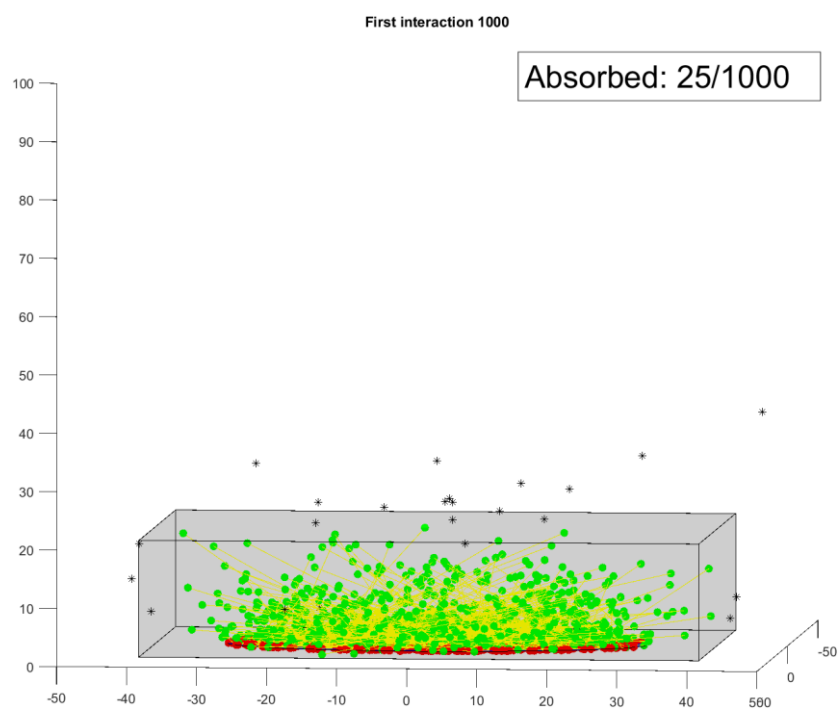


Рисунок 7. Розыгрыш точек первого взаимодействия ( $N = 1000$ ).  
Красными точками показаны точки вылета частиц.  
Зелёными точками показаны точки первого взаимодействия частиц.  
Чёрными звёздами показаны поглощённые частицы.  
Жёлтыми линиями – пути частиц.

Результат розыгрыша четвёртого взаимодействия на примере  $N = 500$ :

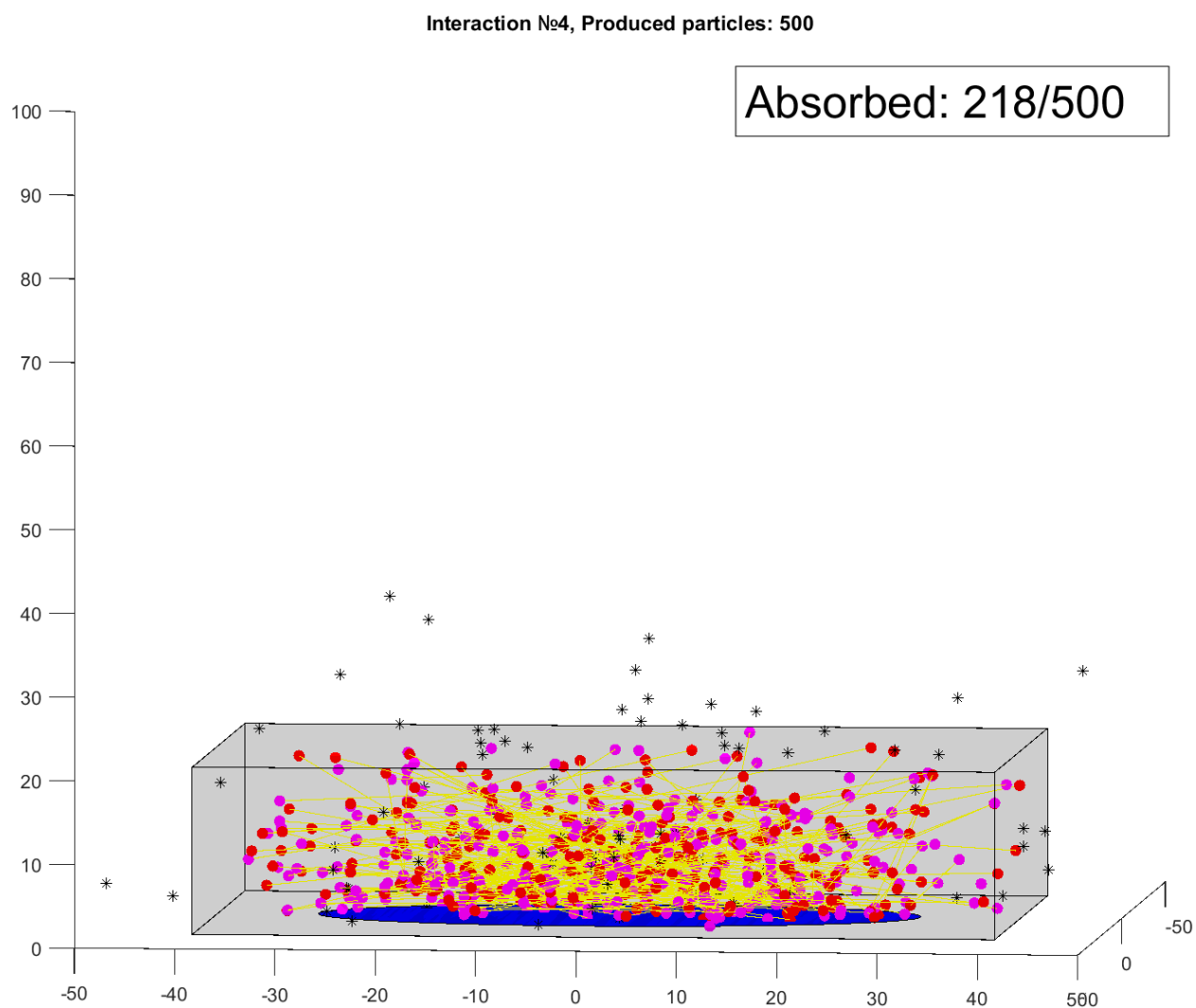
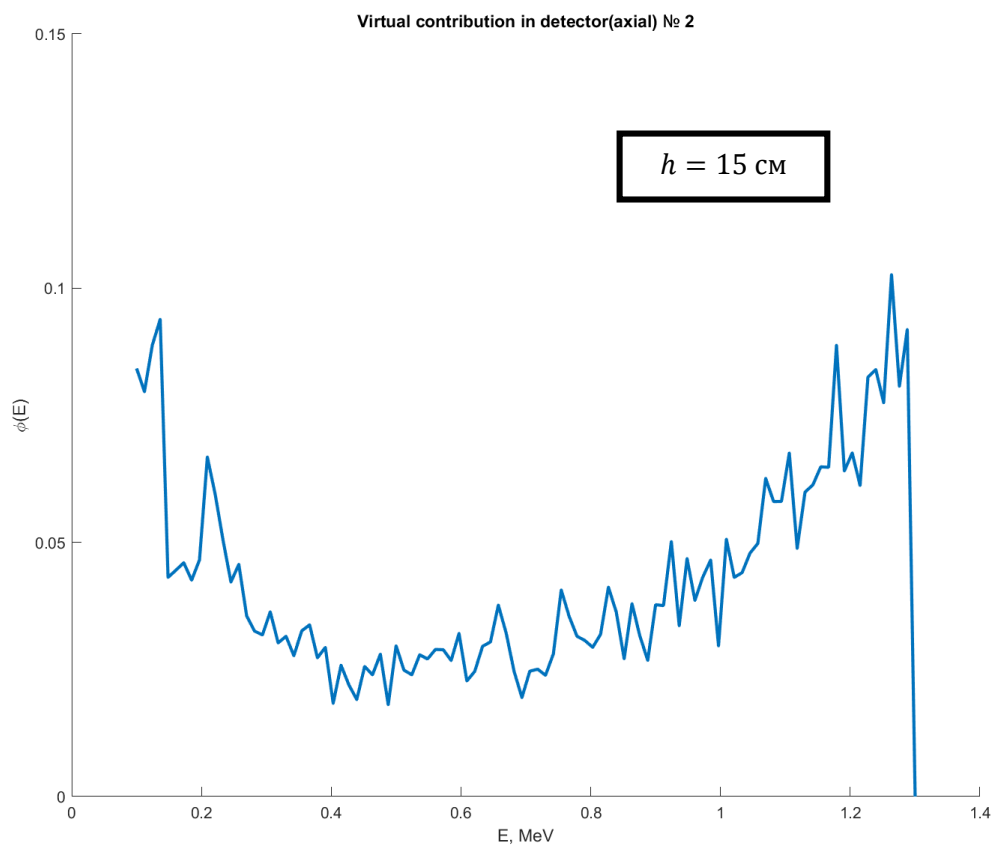
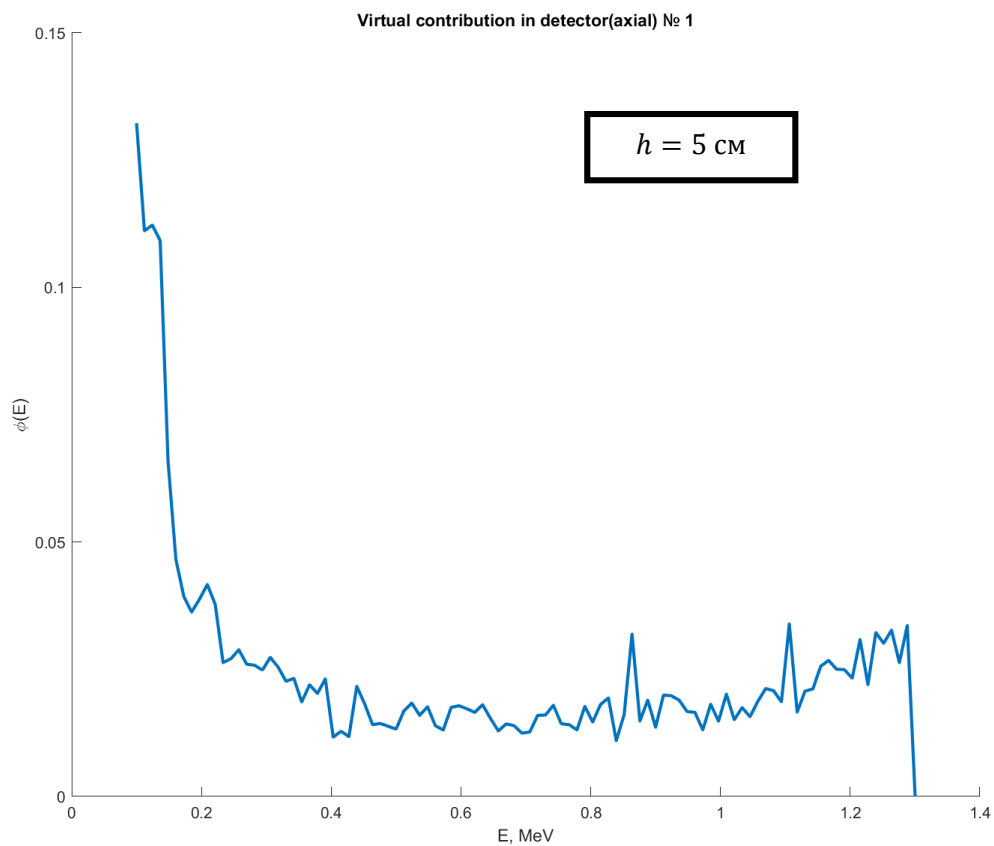


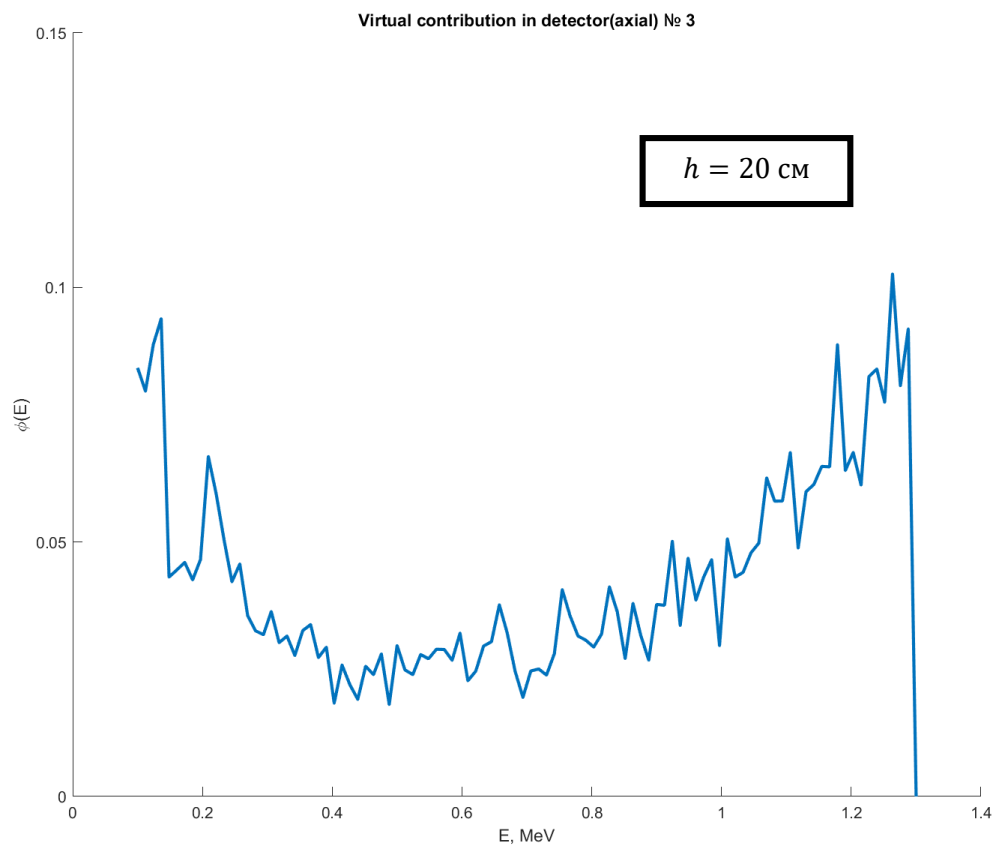
Рисунок 8. Розыгрыш точек четвёртого взаимодействия ( $N = 500$ ).  
Фиолетовыми точками показаны точки третьего взаимодействия частиц.  
Красными точками показаны точки четвертого взаимодействия.  
Чёрными звёздами показаны поглощённые частицы.  
Жёлтыми линиями – пути частиц.

Оценка вклада частиц в детекторы на для  $N = 10^5$ :

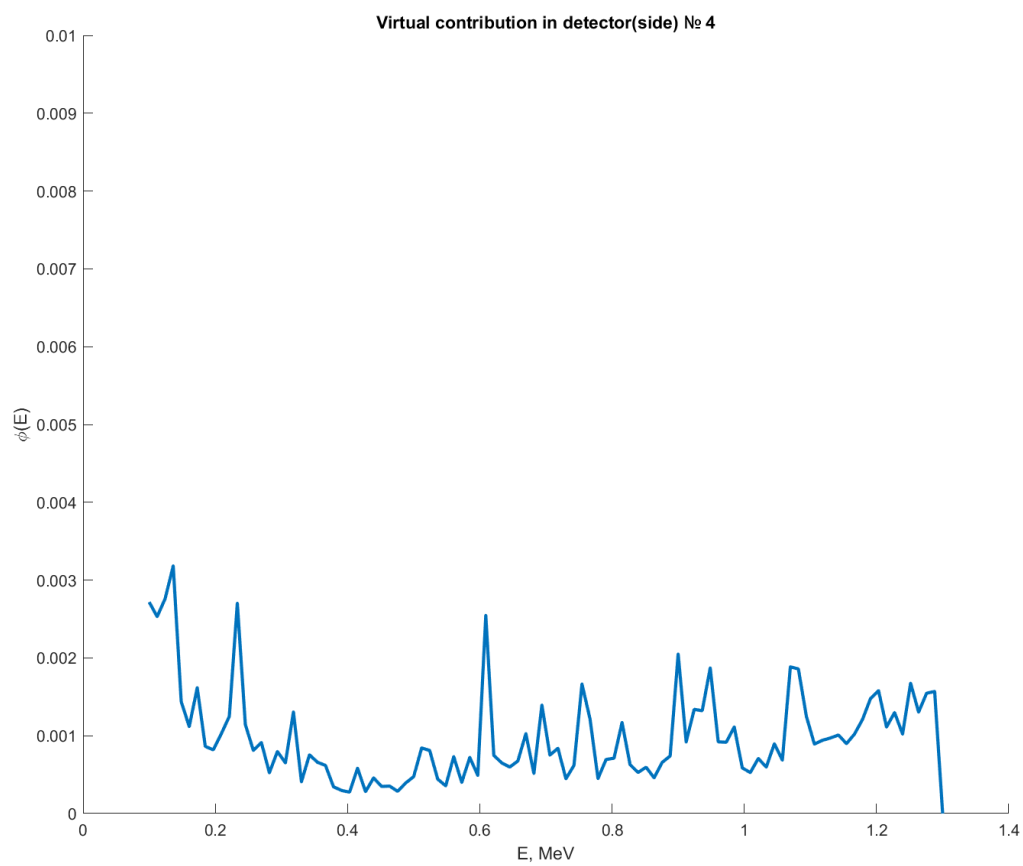
Детекторы на оси:

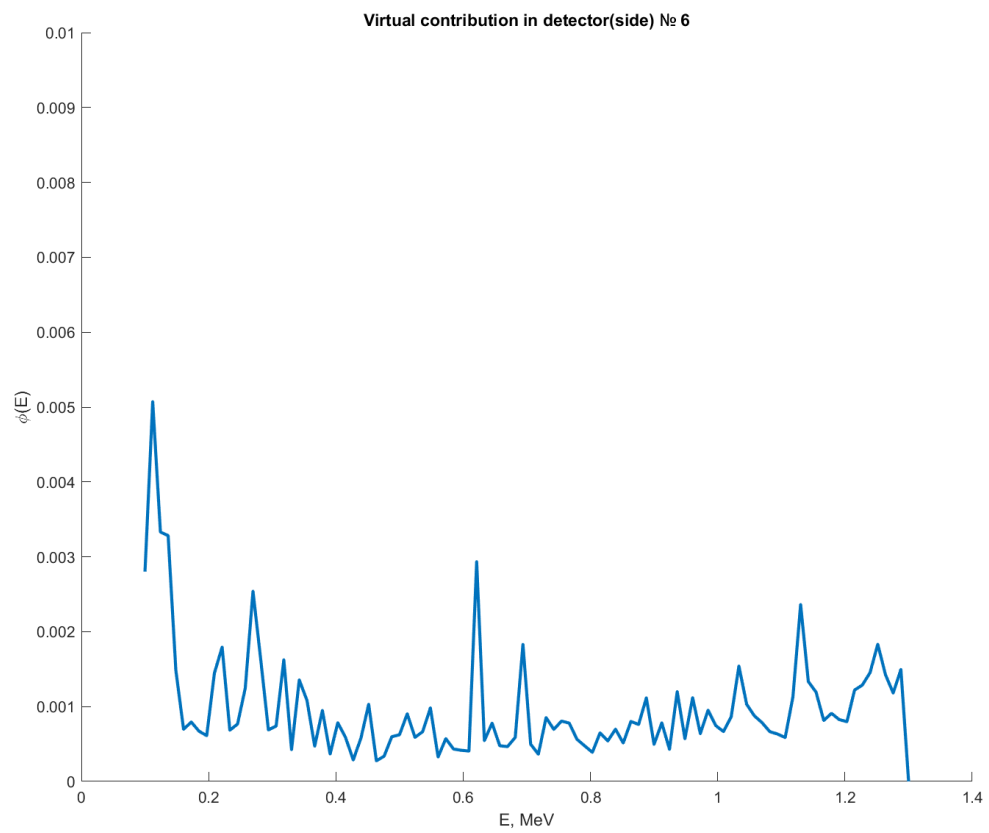
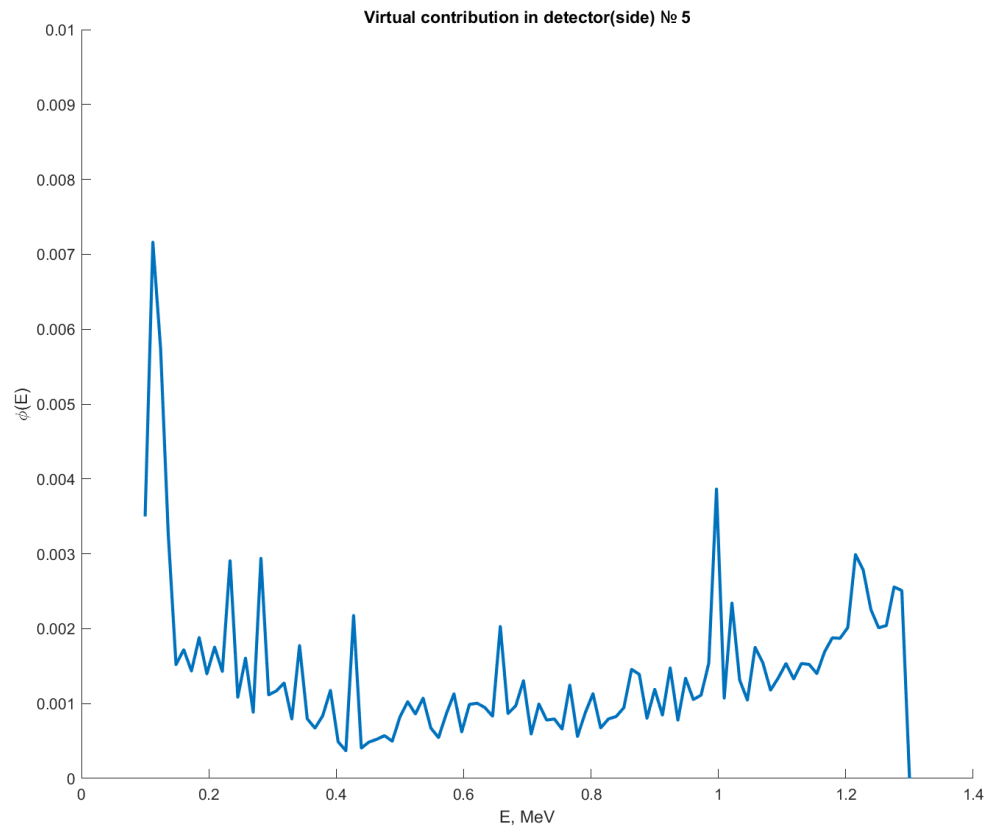


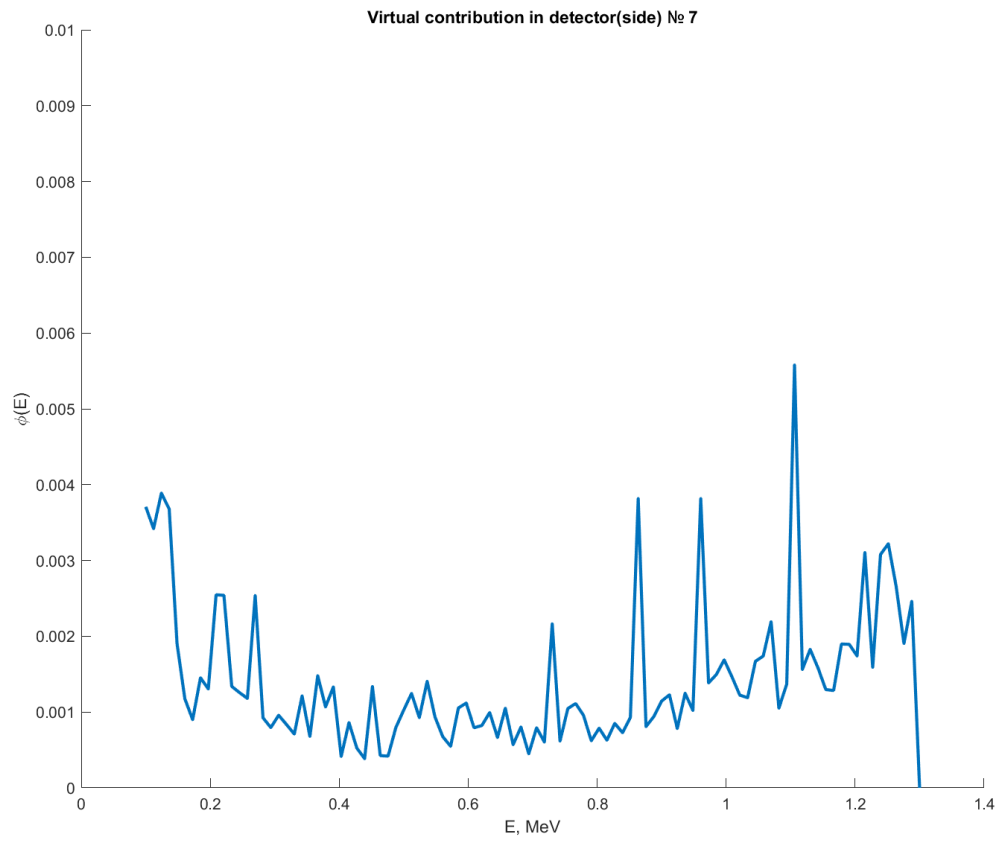




Детекторы на гранях:







## Заключение

Решение задачи переноса излучения методом Монте-Карло позволяет без особых вычислительных затрат получить оценки для макроскопических параметров, описывающих систему. Анализ полученных результатов позволяет сделать следующие выводы:

- во всех рассмотренных случаях проявляется изотропность и однородность источника частиц;
- число поглощённых частиц быстро растёт с увеличением номера взаимодействия (для  $N = 500$  уже на четвёртом взаимодействии поглощена почти половина всех частиц);
- метод локальной оценки потока показал, что большой вклад в детекторы, особенно находящиеся близко к источнику, вносят низкоэнергетические частицы, что обусловлено, во-первых, быстрой потерей энергии частиц при комптоновском рассеянии и, во-вторых, локализацией низкоэнергетических частиц близи источника;
- метод локальной оценки потока показал изотропность среды и источника частиц, что видно из практически совпадающих показаний детекторов, расположенных на боковых гранях.